

钒酰—亚胺配合物的 ESR 波谱研究

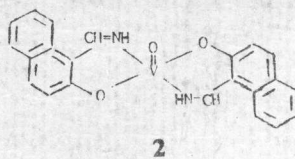
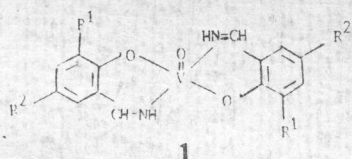
孟庆金 步修仁 孙守恒 钱钺 游效曾

(南京大学配位化学研究所, 南京)

本文研究了二(邻羟亚苄基胺)钒酰配合物在一系列有机溶剂中的 ESR 波谱。室温下, g 值在不同溶剂中的变化有如下次序: $\text{CHCl}_3 > \text{py} > \text{CH}_3\text{CN} > \text{THF} > \text{CH}_3\text{OH}$ 。 a 值的趋势为: $\text{THF} > \text{CH}_3\text{CN} > \text{CHCl}_3 > \text{py} \approx \text{CH}_3\text{OH}$ 。通过在 THF 及 py 溶剂中的低温 ESR 波谱得到的 g_{\parallel} 、 g_{\perp} 、 A_{\parallel} 、 A_{\perp} , 计算出了 $\beta_2'^2$ 、 K 、 $\beta_1'^2$ 、 $\beta_1'^*$ 、 ϵ_n^* 、 $\epsilon_n'^*$ 等键参数, 并讨论了溶剂对配合物电子结构的影响。

关键词: 顺磁共振 钒酰配合物

钒酰离子 $\text{VO}(\text{II})$ 的 ESR 波谱已得到广泛的研究。由于它含一个 $3d$ 电子, 形成配合物后, 往往可以从它的 ESR 波谱中获得许多有意义的结构信息, 特别是在石油和生物化学的应用分析中更为重要。但是溶剂分子往往易于轴向配位而产生微扰作用。钒酰离子与四齿配体一般形成正方锥构型, 与 $\text{V}=\text{O}$ 相反的轴向易于接受溶剂分子, 轴向加合成六配位结构, 使得 ESR 参数与溶剂密切相关。Bernal 等报道过乙酰丙酮— $\text{VO}(\text{II})$ 配合物受溶剂影响的效应^[1], Kivelson 等对该配合物作了有关的理论处理^[2]。与这些个别例子相比较, 有必要提供更多的模型化合物, 以深入系统地研究不同类型配合物受溶剂影响的规律以及波谱的特点。我们结合一些新配体^[3]与 $\text{VO}(\text{II})$ 反应后的水解产物, 研究了二(邻羟亚苄基胺)钒酰这类配合物的 ESR 以及溶剂效应的微扰作用。



实 验

N,N' —二(2-羟基取代苄基)芳甲二胺(3)采用我们所报道的方法合成^[3], 它们分别与 $\text{VO}(\text{II})$ 反应后得到 1 和 2。一般步骤如下: 0.255g(1.45mmol)抗坏血酸溶于 15ml 乙醇后, 加入 0.14g(1.2mmol) NH_4VO_3 和 3ml $3\text{mol} \cdot \text{l}^{-1}$ 的盐酸溶液。加热沸腾至原料完全溶解后进行反应, 形成兰色的 $\text{VO}(\text{II})$ 溶液 A。另取化合物 3(1.0mmol) 分别溶解在热的乙醇或乙腈溶剂中, 搅拌下趁热将溶液 A 快速加入, 再回流半小时。冷却下, 再加二滴浓氨水, 产物渐渐沉析出来。收集到的产物用乙醇(60%)洗涤, 于 $1 \times 10^{-3} \text{mmHg}$ 真空下干燥十小时, 1 和 2 的结构与元素分析、IR、UV 结果吻合。

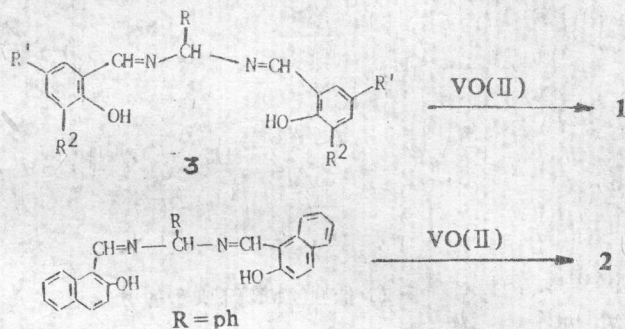
本文于1988年1月25日收到。

* 国家自然科学基金资助项目。

ESR 波谱分别于室温和低温(120K)下,用 JES-FE1 XG 型仪在 X 波段测定.所用的溶剂均为 A.R.级,在氩气保护下除氧后使用.磁场由 Mn^{++}/MgO 标准样品作标样.UV 光谱由 Shimadzu UV-240 型仪测定.固体的反射吸收光谱由 MgO 标准物作参照.IR 光谱由岛津 IR-408 型仪测定,KBr 压片.

结果和讨论

1 和 2 分别由 3 与 VO(II) 反应得到:



这个合成方法方便地利用这类新型配体易于水解反应的特点而实现,收率高,处理方便.

固态的反射吸收电子光谱中,可见区有二个分别约在 16000 和 18000cm^{-1} 左右的吸收峰.溶液的可见区出现三个吸收峰(表 1).在 THF 中,分别位于 $13000, 17000, 18000\text{cm}^{-1}$ 左右.在 py 中发生了一些位移,分别为 $12000, 14000, 18000\text{cm}^{-1}$ 左右.这三个带被指认为 ν_1, ν_2 和 ν_3 ^[4].室温下,测定了 1 和 2 在 $\text{CHCl}_3, \text{py}, \text{CH}_3\text{CN}, \text{THF}, \text{CH}_3\text{OH}$ 等溶剂中的 ESR 波谱(图 1).虽然观察到了很好的超精细分裂,但有明显的线型变化和增宽效应,因此一级近似处理已不够合理,必须考虑二级近似.对于 M 和 $-M$ 线来说,各向同性超精细分裂常数 $A_{M,-M}$ 在二级近似中表示为^[5]:

$$A_{M,-M} = -g\beta(B_M - B_{-M}) / 2Mh \quad \dots(1)$$

各向同性的 $g_{M,-M}$ 值表示为:

$$g_{M,-M} - g_s = g_s \left\{ [B_s - \frac{1}{2}(B_M + B_{-M})] / \frac{1}{2}(B_M + B_{-M}) \right\} - 2A_{M,-M}^2 h^2 [I(I+1) - M^2] / g_s \beta^2 (B_M + B_{-M})^2 \quad \dots(2)$$

g_s, B_s 是标准已知样品的各向同性 g 值和共振磁场.反复运用(1)和(2)两式,将从每对 M 和 $-M$ 中求出的 $A_{M,-M}$ 和 $g_{M,-M}$ 加以平均,即得 a 和 g 值,结果列于表 1.

实验得出的 g 值与溶剂有关.虽然变化的幅度不大,但有如下的次序 $\text{CHCl}_3 > \text{py} > \text{CH}_3\text{CN} > \text{THF} > \text{CH}_3\text{OH}$.还测定了 VO(Sal-Cl)在硝基苯中的 g 为 1.9783,它比 CHCl_3 中的 g 值还大,以上结果与乙酰丙酮钒酰在溶剂中 g 值的变化趋势相吻合^[1].

在 THF 中配合物 1 和 2 的 a 值在 $89.62 \sim 90.87 \times 10^{-4}\text{cm}^{-1}$ 之间,其大小正好落在 VO(acac)₂(乙酰丙酮钒酰)和 VO(porph)(卟啉钒酰)中间.VO(acac)₂ 和 VO(porph)的 a 值分别为 97.5×10^{-4} 和 $88.7 \times 10^{-4}\text{cm}^{-1}$ (THF 中)^[2].对于 a 值的变化,曾经用组态相互作用进行解释^[2].配体场的增强与 A 值的减小相关,因此对于 VO(N₄)[VO(porph)], VO(N₂O₂)[VO(Sal-X)]到

$\text{VO}(\text{O}_4)[\text{VO}(\text{acac})_2]$, 由于配位原子的变化使得配体场及共价性改变。对于同一类配合物, a 值的微小变化实际上反映了溶剂的效应。因为第六个位置上加合配位分子, 导致配体场增强而引起 a 值的减小。因此, a 值的变化依附于溶剂分子配位能力的大小。1 和 2 在 py 中, 或是在 CH_3OH 中一般 a 值为最小。这个实验结果与理论解释相吻合, 前者吡啶有公认的强配位能力, 而后者甲醇除了考虑配位能力外, 还有氢键的贡献^[6]。在氯仿中也考虑到了氢键的贡献^[6]。

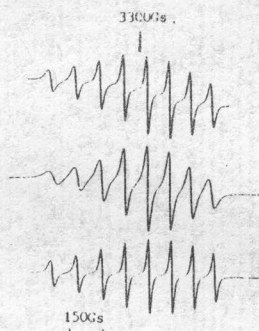


图1 室温下钒酰配合物的 ESR 波谱

Fig. 1 ESR spectra of vanadyl

complexes at r.t.

solvents: a. THF, b. py,

c. CHCl_3

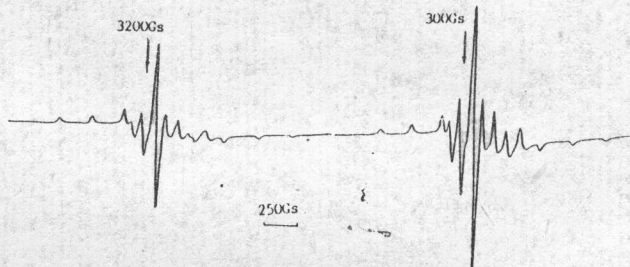


图2 低温(120K)下典型的 ESR 图谱

Fig. 2 Typical ESR spectra in low

temperature(120K)

solvents: a. THF, b. py

低温下(120K) 1 和 2 的 ESR 波谱表明(图 2), 除了 $\text{VO}(\text{Sal-Br})$ 在 py 中能分辨出 g_x 、 g_y 、 g_z 外, 其他在 py 和 THF 中只有 $g_{||}$ 和 g_{\perp} 、 $g_{||}$ 在 1.9540~1.9580 之间, g_{\perp} 在 1.9835~1.9865 之间。在 py 溶剂中 $g_{||}$ 值总是比 THF 中 $g_{||}$ 值大。各向异性超精细分裂常数 $A_{||}$ 和 A_{\perp} 分别在 $152.93 \sim 160.17 \times 10^{-4} \text{cm}^{-1}$ 、 $52.09 \sim 56.07 \times 10^{-4} \text{cm}^{-1}$ 之间。二者在 THF 中的值比在 py 中的大。低温自旋哈密顿参数列于表 2。

为了从自旋哈密顿参数中近似地估价键参数, 这类配合物可以看成 C_{4v} 受到微扰后而降低 C_{2v} , 因此仍应用 C_{4v} 的 LCAO-MO 来处理^[2]:

$$B_{2g} = \beta_2 d_{xy} + \frac{1}{2} \beta_2' (p_{y1} + p_{x2} - p_{y3} - p_{x4}) \quad \dots(3)$$

$$B_{1g} = \beta_1 d_{x^2-y^2} + \frac{1}{2} \beta_1' (\sigma_1 + \sigma_3 - \sigma_2 - \sigma_4) \quad \dots(4)$$

$$E_{eg} = \varepsilon_x d_{xz} + \varepsilon_x' p_{x5} + \frac{1}{\sqrt{2}} \varepsilon_x'' (p_{x1} - p_{x2}) \quad \dots(5)$$

$$A_{I} = \alpha_{I} (d_{x^2} + S_o) + \alpha_{I}' \sigma_5$$

$$A_{II} = \alpha_{II} (d_{x^2} - S_o) - \frac{1}{2} \alpha_{II}' (\sigma_1 + \sigma_2 + \sigma_3 + \sigma_4) \quad \dots(6)$$

其中, α 、 β 、 ε 分别是 $\text{VO}(\text{II})$ 波函数系数。 α' 、 β' 、 ε' 和 ε'' 分别是配体波函数系数。 α^* 、 $-\alpha'^*$ 、 β^* 、 $-\beta'^*$ 、 ε^* 、 $-\varepsilon'^*$ 、 ε''^* 分别为相应的反键轨道系数。未成对电子位于 B_{2g}^* 反键轨道上。

表 1 室温下配合物的 ESR 及电子光谱数据

Table 1 ESR and Electronic Spectra Data for the Complexes at r.t.

complex	solvent	$a(10^{-4}\text{cm}^{-1})$	g	$\lambda_{\text{max}}(\text{cm}^{-1})$		
VO(Sal-Cl)	solid			16129	18518	
	CHCl ₃	89.34	1.9756			
	pyridine	86.94	1.9752	12195	14084	18700
	CH ₃ CN	91.43	1.9751	13158	16667	19380
	THF	90.87	1.9750	12987	17000	18790
	CH ₃ OH	87.42	1.9748			
VO(Sal-Br)	solid			16025	18656	
	CHCl ₃	89.58	1.9756			
	pyridine	88.61	1.9749	12195	14045	18800
	CH ₃ CN	90.38	1.9745	13158	16667	19380
	THF	90.87	1.9740	12987	16950	18800
	CH ₃ OH	86.64	1.9739			
VO(Sal-Ph)	solid			15200	18520	
	CHCl ₃	89.35	1.9766			
	pyridine	87.28	1.9765	12190	13900	18520
	CH ₃ CN	90.08	1.9760			
	THF	90.34	1.9758	12987	16720	18870
	CH ₃ OH					
VO(Sal-Dibr)	solid			16077	18520	
	CHCl ₃	90.00	1.9762			
	pyridine	86.30	1.9760	12190	13900	18315
	CH ₃ CN	90.56	1.9760	13158	16667	19380
	THF	90.60	1.9747	12987	16890	18870
	CH ₃ OH	87.46	1.9734			
VO(Nap-H)	solid			15530	18180	
	CHCl ₃	87.63	1.9771			
	pyridine	87.00	1.9750	12000	13900	17240
	CH ₃ CN	89.00	1.9771	15625		
	THF	89.62	1.9762	13020	16900	18250
	CH ₃ OH					

联系以上的分子轨道，自旋哈密顿参数可进一步表示为^[2,7]：

$$A_{\parallel} = -K + P\left[-\frac{4}{7}\beta_2^{*2} + (g_{\parallel} - g_e) + \frac{3}{7}(g_{\perp} - g_e)\right] \quad \dots(7)$$

$$A_{\perp} = -K + P\left[\frac{2}{7}\beta_2^{*2} + \frac{11}{14}(g_{\perp} - g_e)\right] \quad \dots(8)$$

$$g_{\parallel} - g_e = -\frac{8\lambda\beta_1^{*2}\beta_2^{*2}}{\Delta E_{\parallel}} \left[1 - \frac{\beta_1^{*'}}{\beta_1^{*}} S\right] \quad (9)$$

$$g_{\perp} - g_e = -\frac{2\lambda\varepsilon_{\pi}^{*}\beta_2^{*2}}{\Delta E_{\perp}} \left[1 - \frac{\varepsilon_{\pi}^{*'}}{\varepsilon_{\pi}^{*}} \pi_o\right] \quad \dots(10)$$

表2 低温下自旋哈密顿参数

Table 2 Spin Hamiltonian Parameters at Low Temperature

complex	solvent	g_{\parallel}	g_{\perp}	$A_{\parallel} \times 10^4$ (cm^{-1})	$A_{\perp} \times 10^4$ (cm^{-1})
VO(Sal-Cl)	py	1.9545	1.9849	157.04	52.09
	THF	1.9540	1.9844	158.78	56.29
VO(Sal-Br)	THF	1.9558	1.9831	155.88	52.68
VO(Sal-Ph)	Py	1.9585	1.9855	156.11	52.23
	THF	1.9558	1.9858	163.49	53.53
VO(Sal-Dibr)	Py	1.9553	1.9863	152.93	52.45
	THF	1.9551	1.9845	158.61	56.07
VO(Nap-H)	Py	1.9580	1.9835	154.28	52.90
	THF	1.9556	1.9865	160.17	53.78

表3 从 ESR 波谱得出的分子轨道参数

Table 3 MO Parameters Obtained from ESR

complex	solvent	K	β_2^{*2}	β_1^*	$\beta_1'^*$	ϵ_x^*	$\epsilon_x'^*$
VO(Sal-Cl)	py	0.0084	1.00	0.852	0.778	0.879	0.598
	THF	0.0087	0.970	0.938	0.653	0.938	0.482
VO(Sal-Ph)	py	0.0083	0.994	0.825	0.808	0.870	0.613
	THF	0.0087	1.05	0.867	0.760	0.846	0.648
VO(Sal-Br)	THF	0.0084	0.980	0.918	0.688	0.957	0.431
VO(Sal-Dibr)	py	0.0083	0.950	0.876	0.749	0.886	0.587
	THF	0.0087	0.970	0.928	0.670	0.936	0.487
VO(Nap-H)	py	0.0084	0.970	0.843	0.788	0.926	0.509
	THF	0.0086	1.01	0.898	0.719	0.860	0.628

式中 λ 是钒离子的旋轨耦合常数,一般取 $\lambda = 150\text{cm}^{-1}$ ^[8], K 是 Fermi 接触因子, P 是自由离子的偶极因子,取值为 0.00117cm^{-1} ^[8]。

再取 $S = 0.25$, $\pi_0 = 0.124$ ^[2] 以及表 1 中相应的电子光谱实验值,结合归一化条件:

$$\beta_1^{*2} + \beta_1'^{*2} - 2\beta_1^* \beta_1'^* S = 1$$

和

$$\epsilon_x^{*2} + \epsilon_x'^{*2} - 2\epsilon_x^* \epsilon_x'^* \pi_0 = 1$$

近似解出的 β_1^* 、 $\beta_1'^*$ 、 ϵ_x^* 、 $\epsilon_x'^*$ 列于表 3

从以上的分子轨道可知, B_{2g} 能级主要由 $3d_{xy}$ 轨道的贡献, β_2^{*2} 是分子平面内 π 键的特征系数, 从表 3 中看到, 所有化合物的 β_2^{*2} 都接近 1, 与溶剂几乎无关, 表明体系内 π 键几乎不存在, 未成对电子主要定域在钒原子上。 β_1^{*2} 是平面 σ 键的特征系数, 根据计算结果, 这个键具有一定的共价特性并依赖于溶剂而变化。在 THF 中 β_1^{*2} 值总是要比在 py 中的大, 说明平面内 σ 键在 py 中要比在 THF 中强, 很可能 py 是强配位溶剂分子之故。 ϵ_x^{*2} 是平面外的 π 键特征系数。 ϵ_x^{*2} 减小, 平面外 π 键就增强。表 3 中的计算结果也表明, 所有配合物都有较强的平面外 π 键, 并随溶剂而变化。

参 考 文 献

- [1] Bernal, I. and Rieger, P. H., *Inorg. Chem.*, **2**, 256 (1963).
- [2] Kivelson, D. and Lee, S. K., *J. Chem. Phys.*, **41**, 1896 (1964).
- [3] Bu Xiuren, Meng Qingjin, Wang Reixue, You Xiaozeng, Dai Anbang, Book of Abstracts, XXV ICCS, Nanjing, China, 1987.
- [4] Sacconi, L. and Campagli, U., *Inorg. Chem.*, **5**, 606 (1966).
- [5] Wilson, R. and Kivelson, D., *J. Chem. Phys.*, **44**, 154 (1966).
- [6] Walker, F. A., Carlin, R. L., Rieger, P. H., *J. Chem. Phys.*, **45**, 4181 (1966).
- [7] Ballhausen, C. J. and Gray, H. B., *Inorg. Chem.*, **1**, 111 (1962).
- [8] Lau, P. W. and Lin, W. C., *J. Inorg. Nucl. Chem.*, **37**, 2389 (1975).

ESR STUDIES ON IMINATO-VO(II) COMPLEXES

Meng Qingjin, Bu Xiuren, Sun Shouheng

Qian Yue You Xiaozeng

(Coordination Chemistry Institute, Nanjing University, Nanjing)

Oxovanadium(IV) salicylaldehydes have extensively been studied by ESR spectroscopy in a variety of organic solvents. At room temperature, g -value decreases in order: CHCl_3 , py, CH_3CN , THF, CH_3OH while a -value decreases in order: THF, CH_3CN , CHCl_3 , py, CH_3OH . From the spin Hamiltonian parameters obtained at low temperature, some bond parameters β_2^{*2} , κ , β_1^{*2} , β'^{*2} , ϵ_x^{*2} , $\epsilon_x'^{*2}$ have been calculated, and the effect of solvent on electron structures of the complexes has also been discussed.

Keywords: ESR iminato-VO complex